

1 / 16

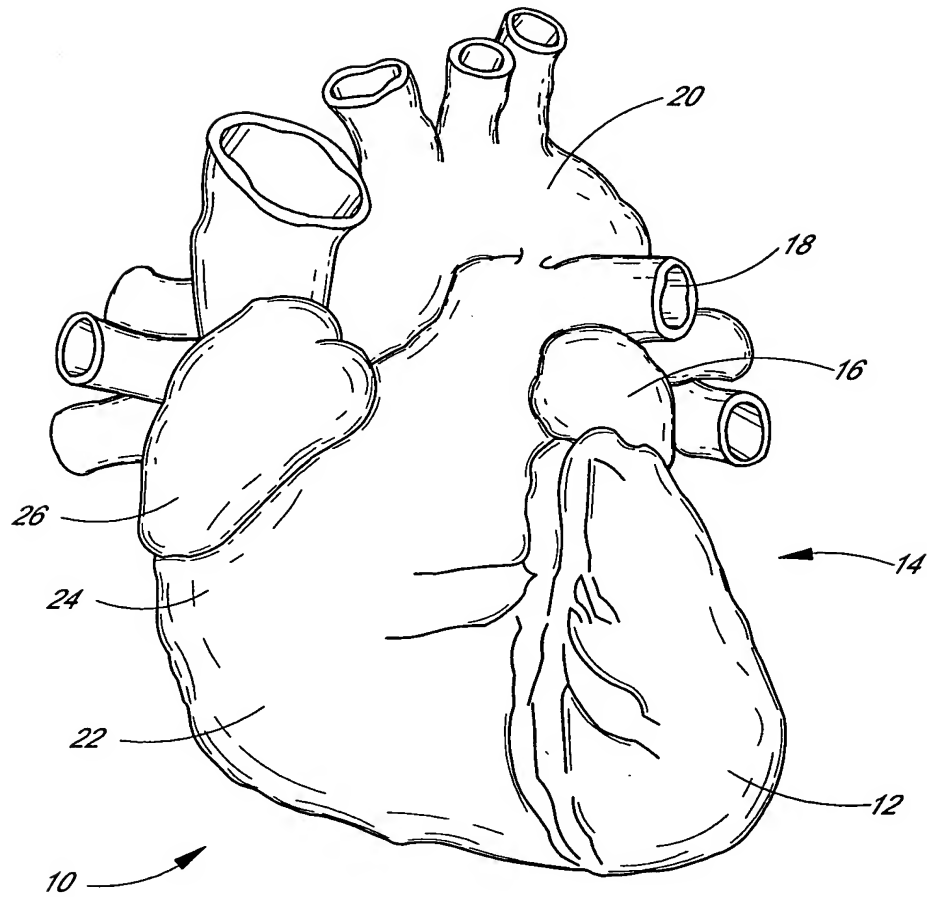


FIG. 1



FIG. 3A

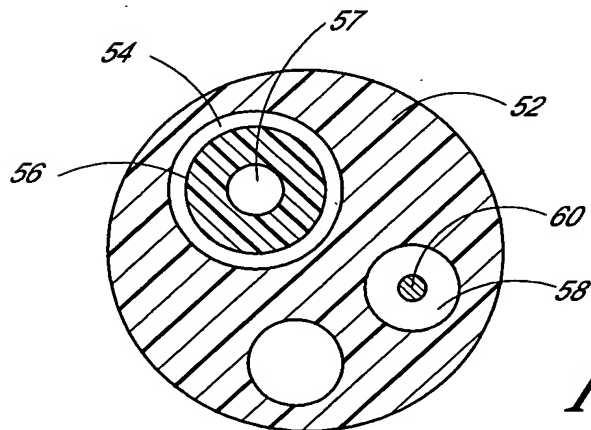
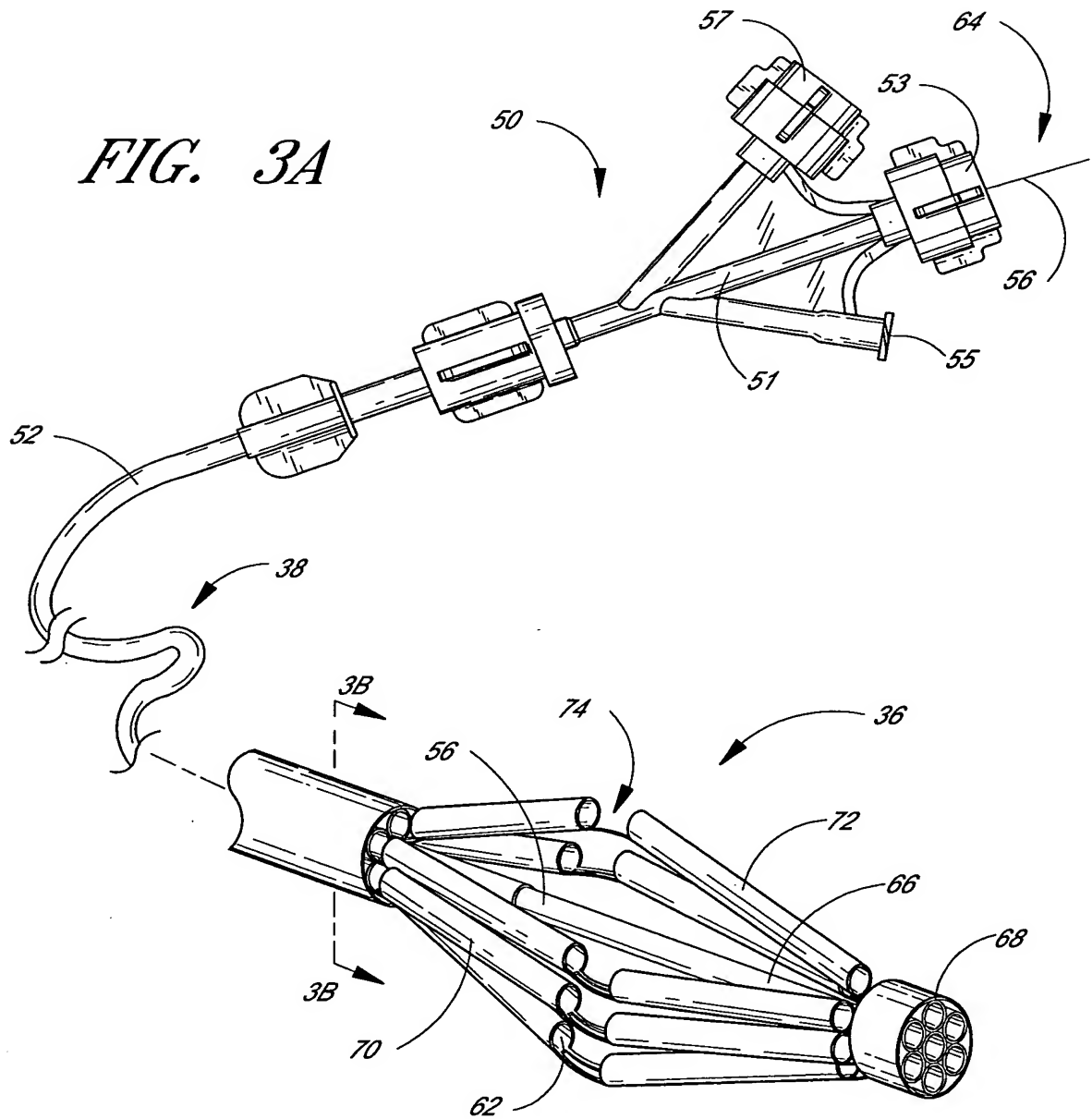


FIG. 3B

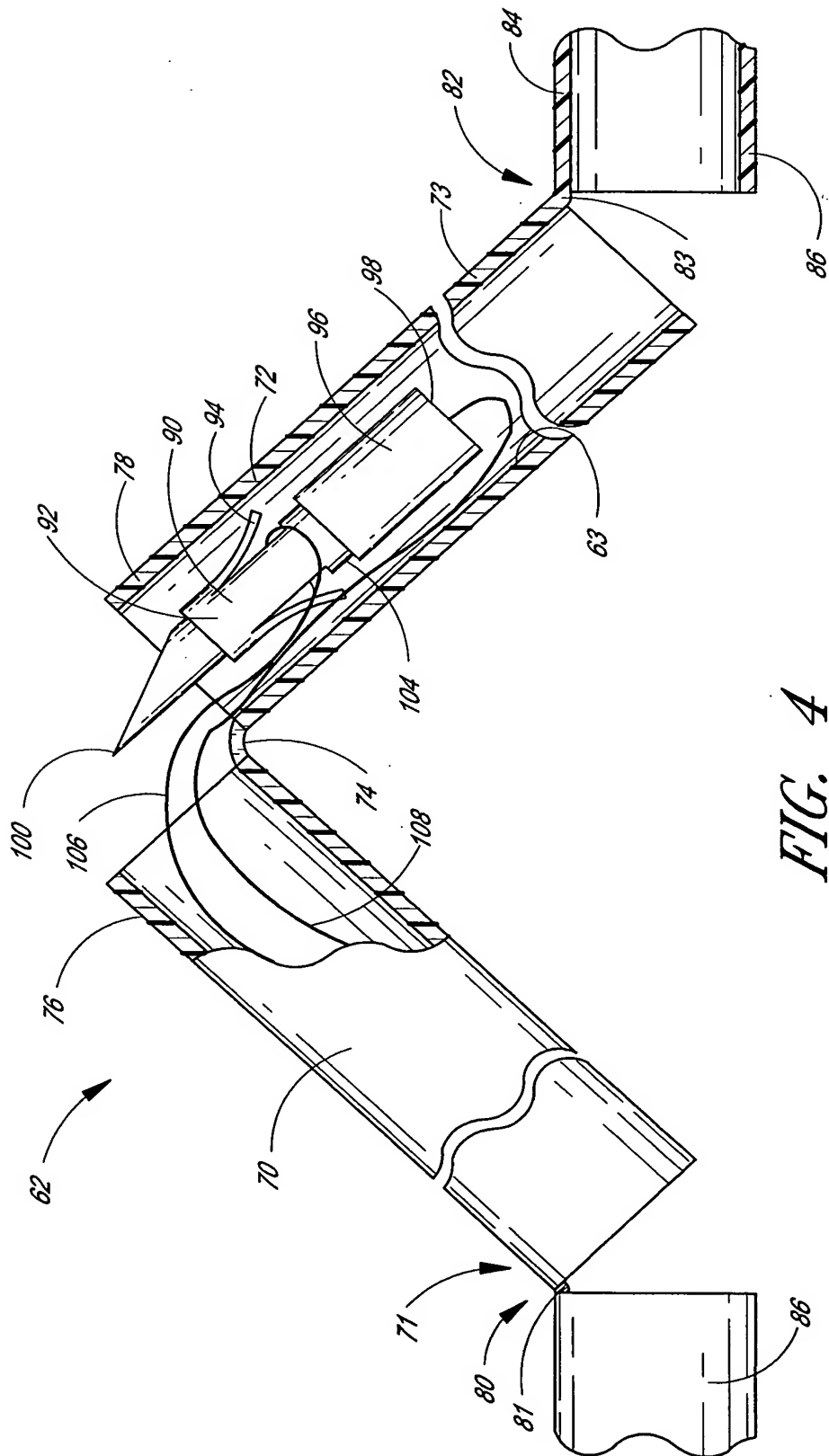


FIG. 4

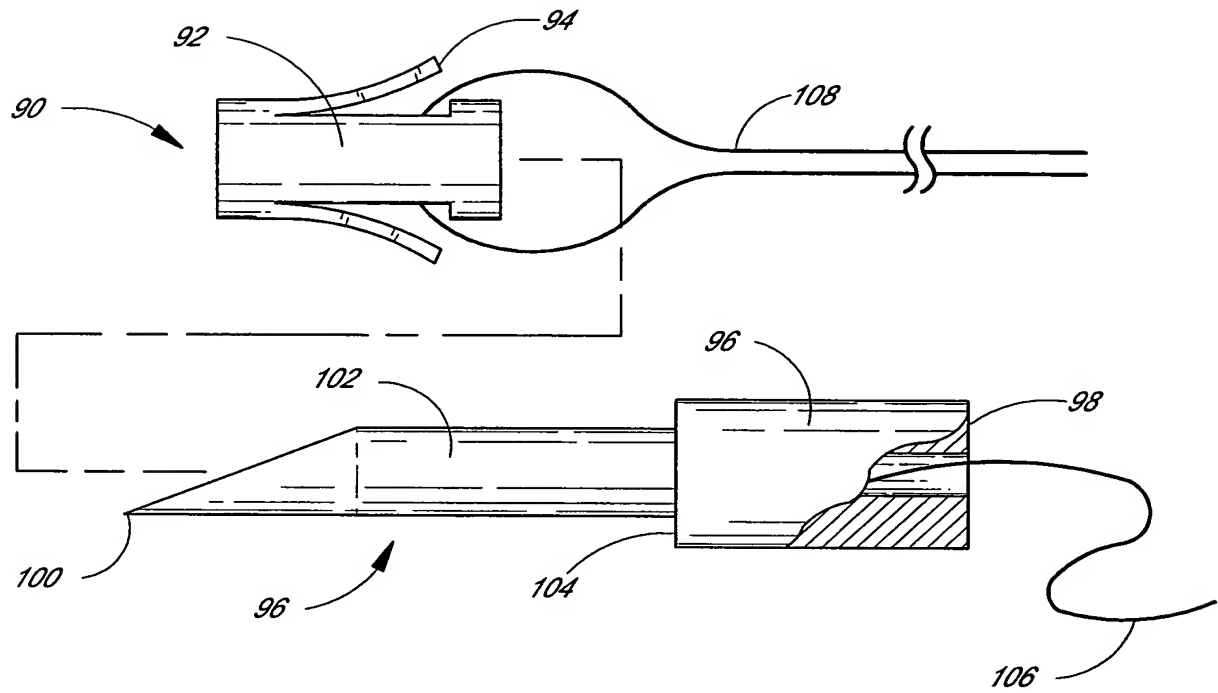


FIG. 5

6 / 16

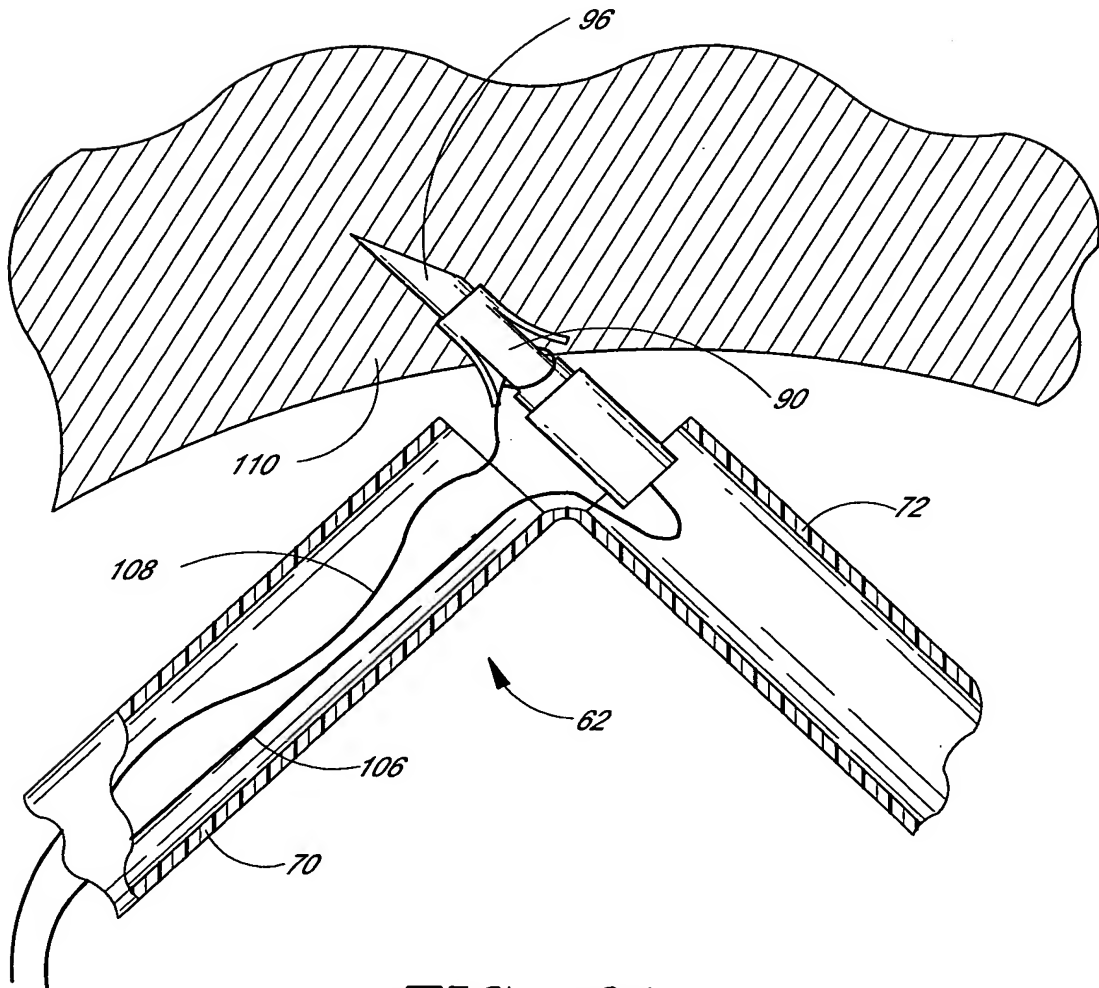


FIG. 6A

7 / 16

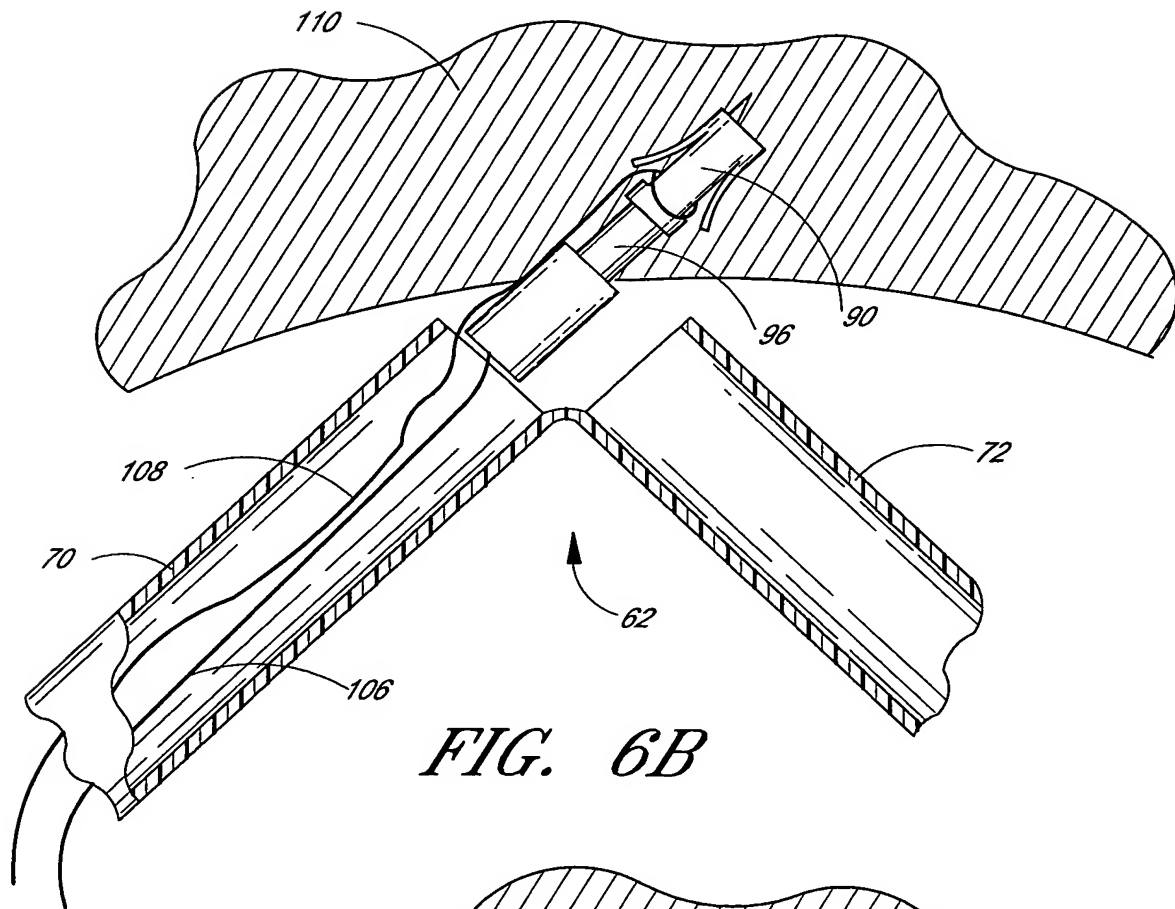


FIG. 6B

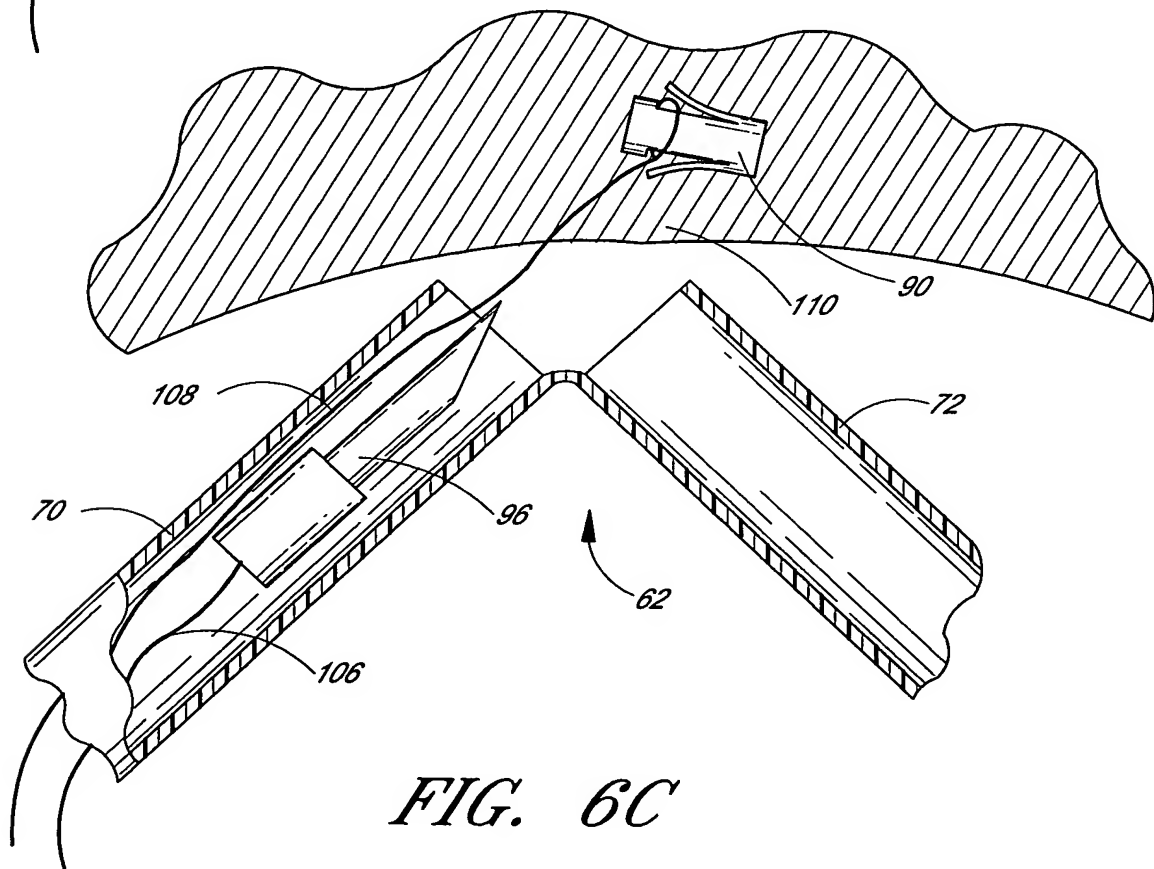


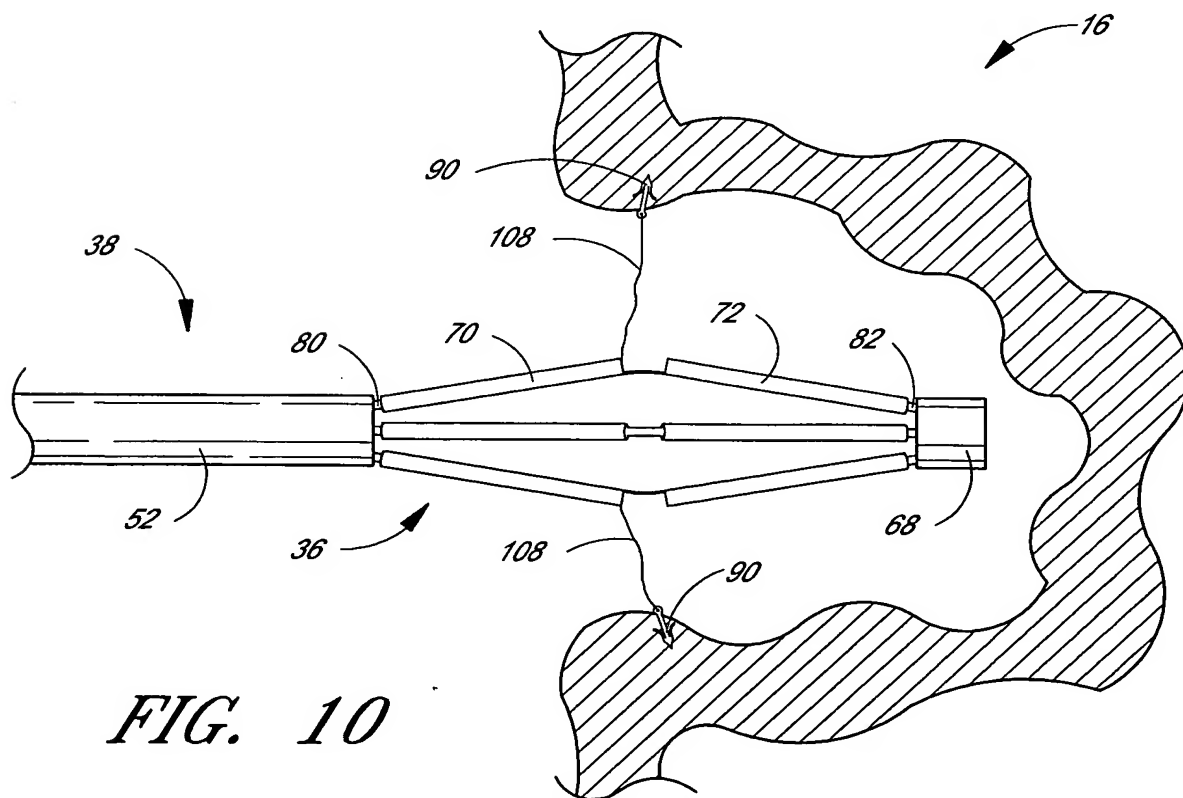
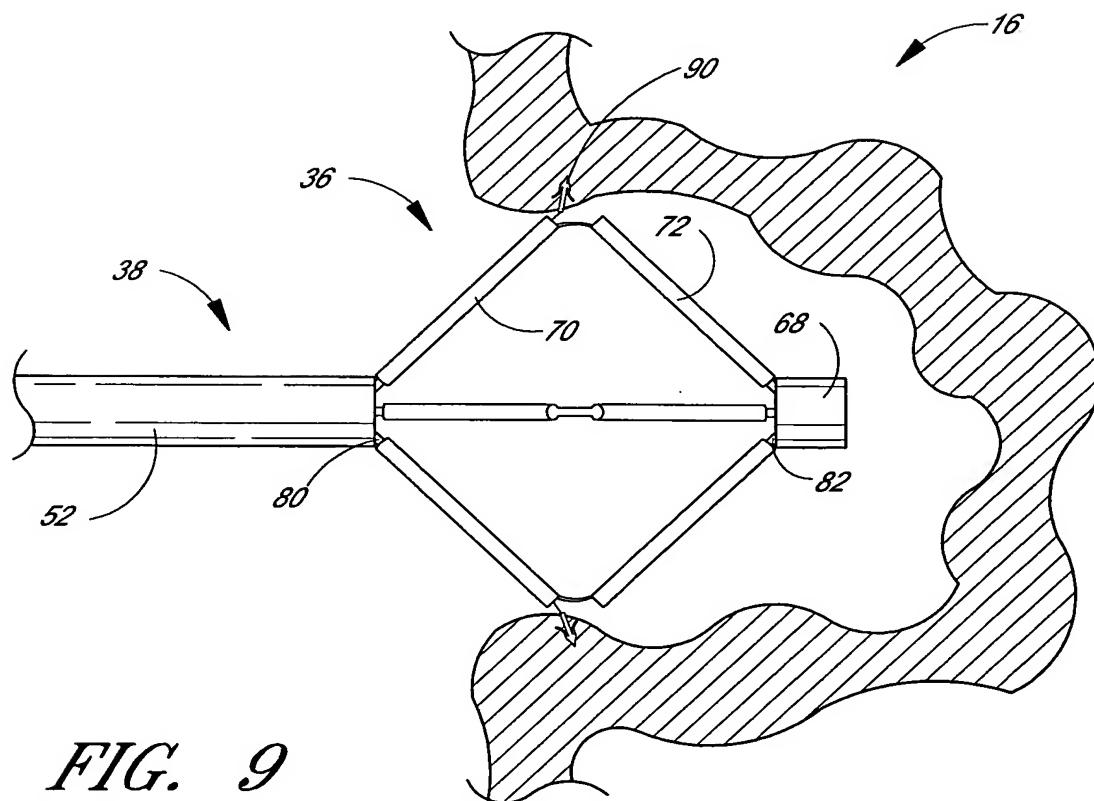
FIG. 6C

Roue, et al.

8 / 16



9 / 16



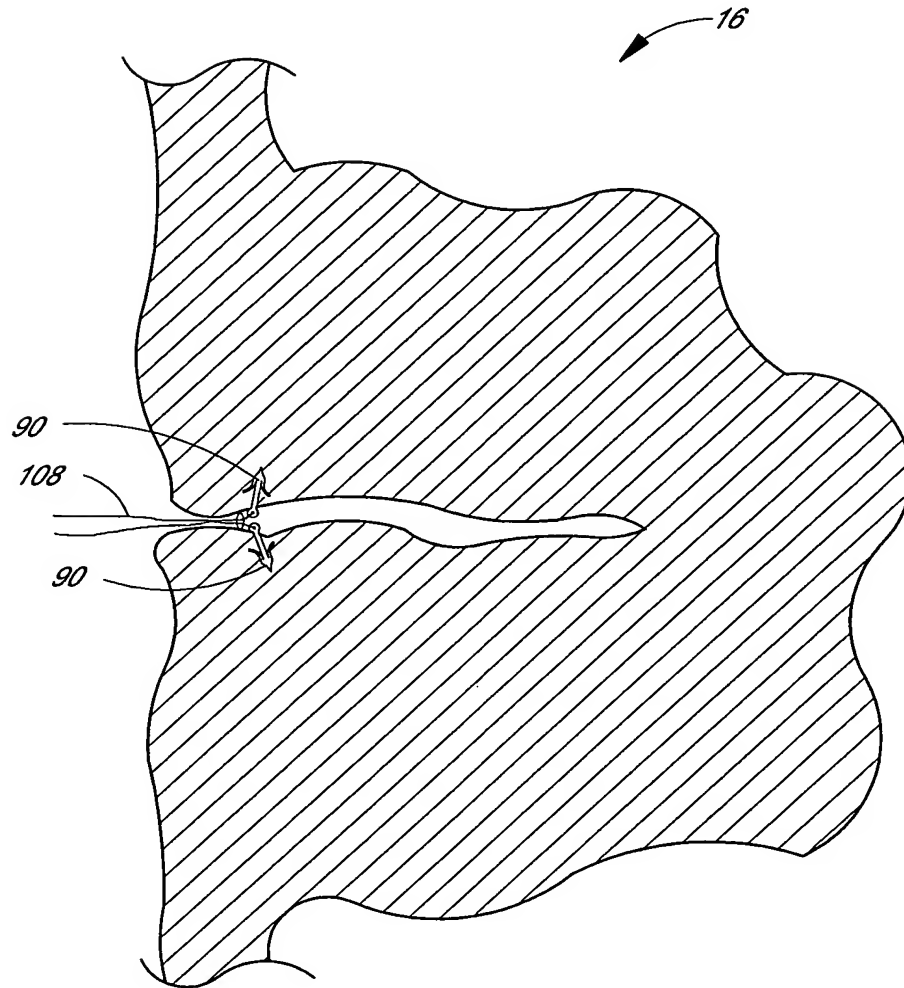


FIG. 11

11 / 16

FIG. 11A

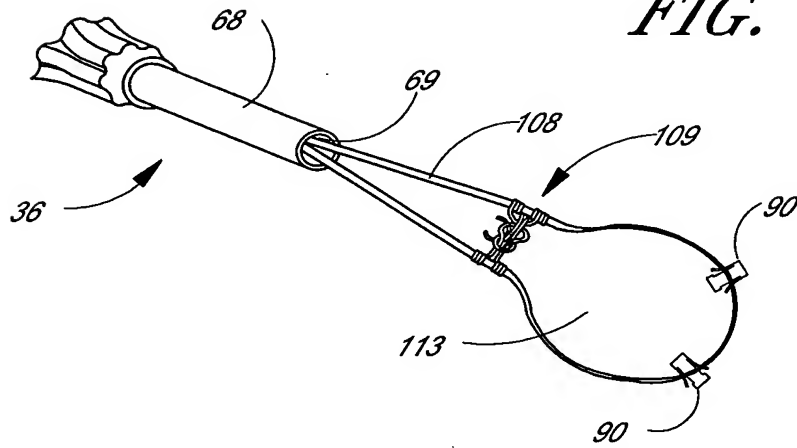


FIG. 11B

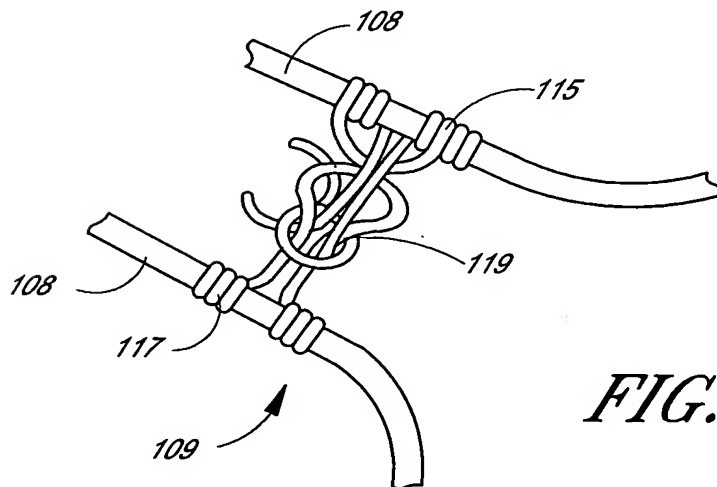
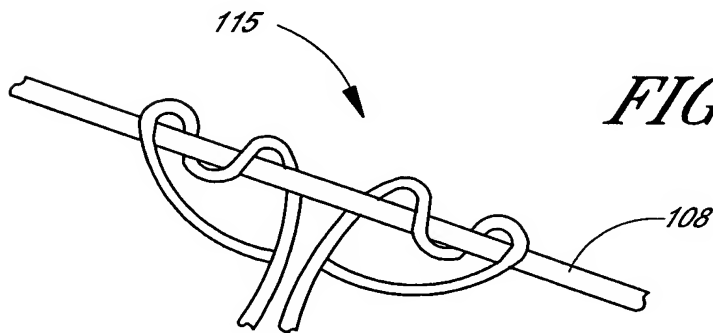
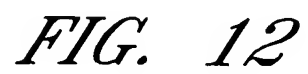


FIG. 11C



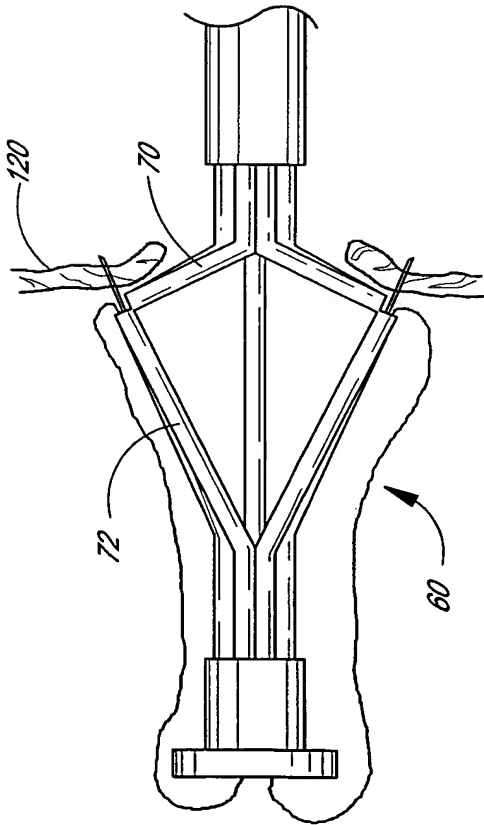


FIG. 13

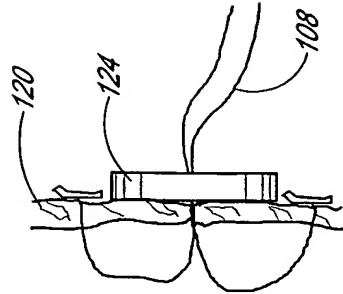


FIG. 15

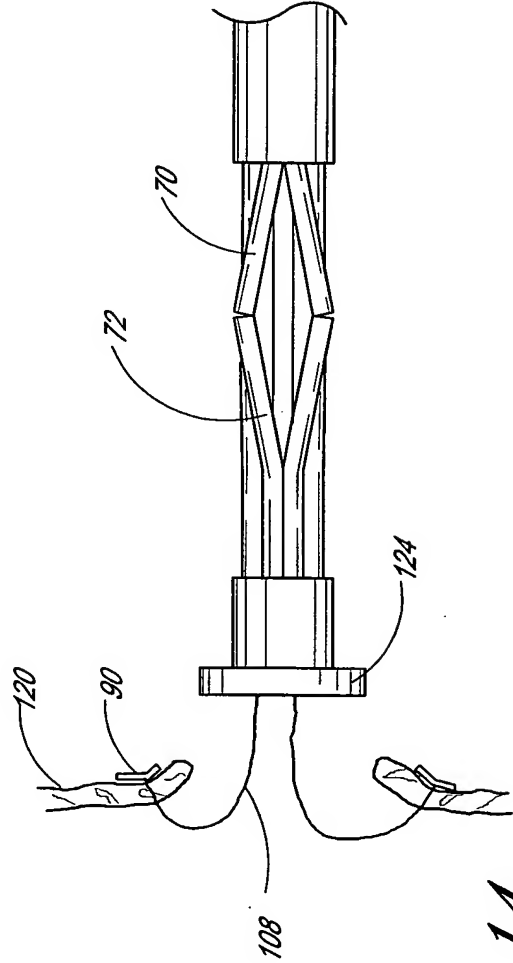


FIG. 14

14 / 16

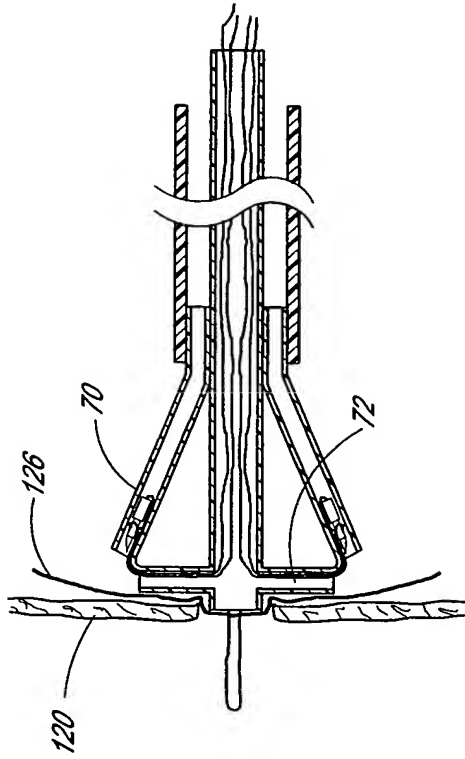


FIG. 17

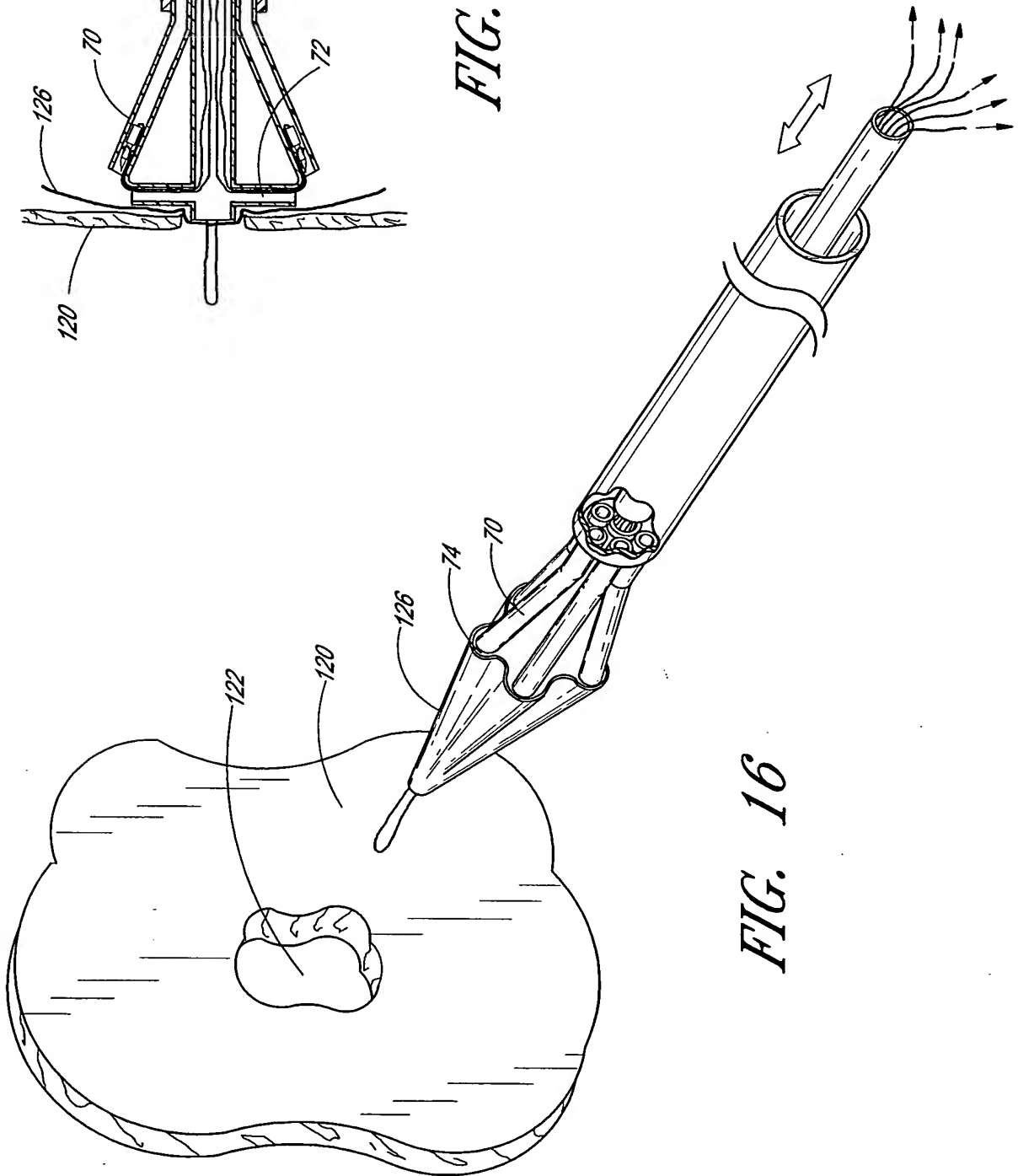


FIG. 16

15 / 16

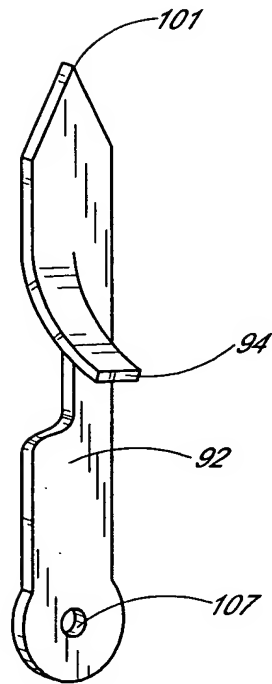


FIG. 18A

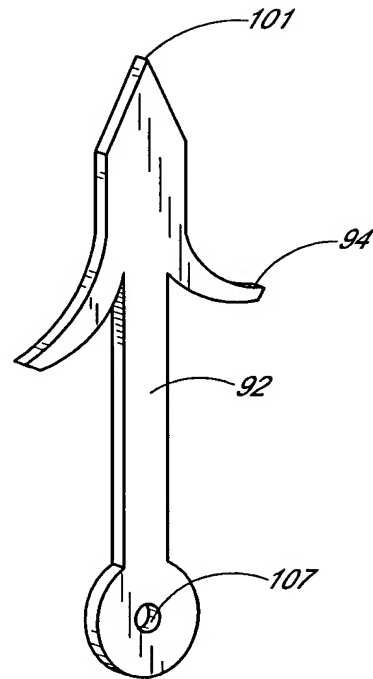


FIG. 18B

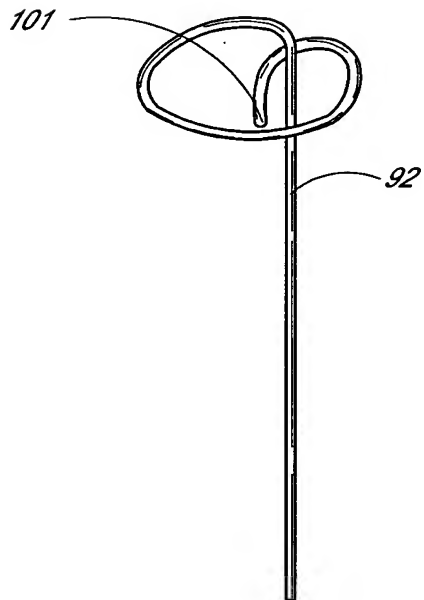


FIG. 18C

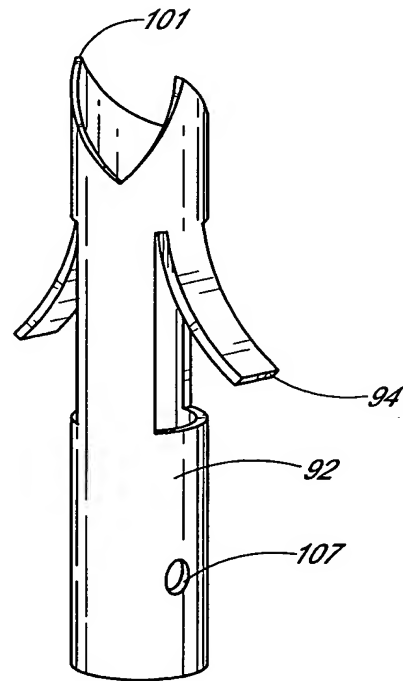


FIG. 18D

16 / 16

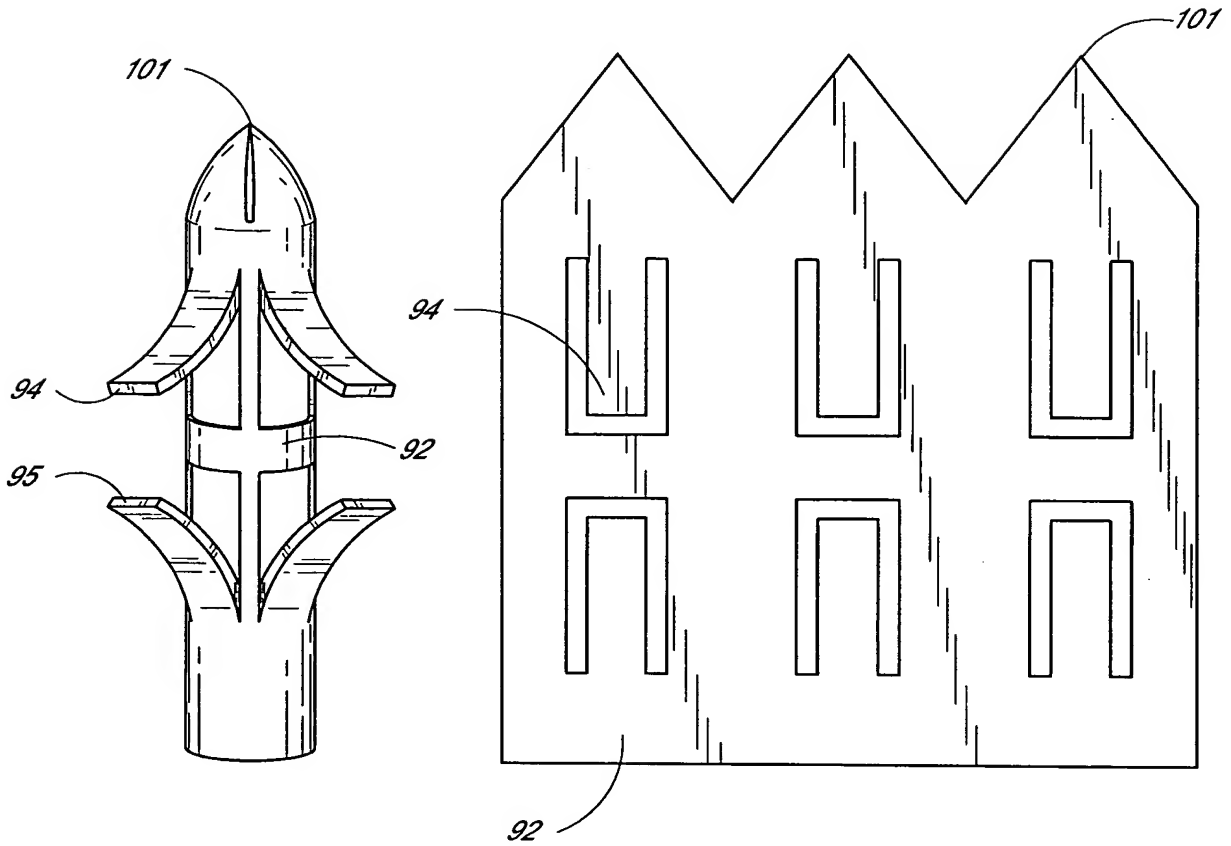


FIG. 18E

FIG. 18F

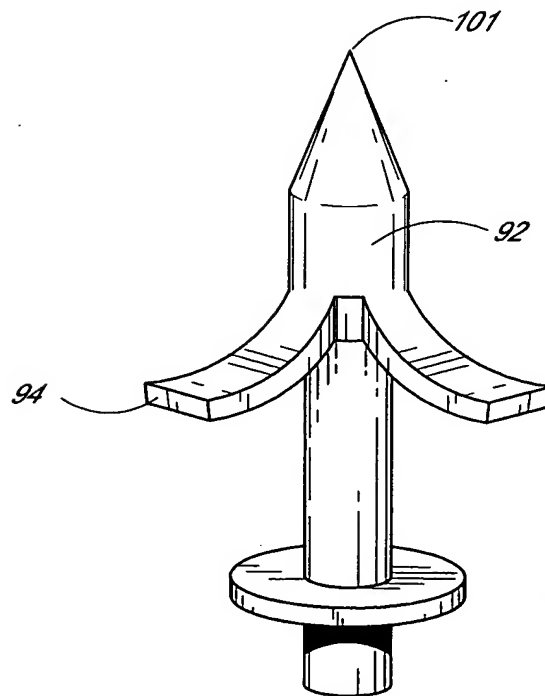


FIG. 18G